

中国工業技術試験所 (正) 宝田盛康 (正) 早川典生

まえがき：水質環境の将来予測を行うために、水理模型実験とともに数值解析法が用いられる。数值解析法による場合、どういうモデルを用いるかは、対象とする範囲、地形、現象の規模および特徴などをもとに決定すべきである。また、計算機の記憶容量、経済性も考慮しなければならない。実際の現象は、三次元空間内で変化するが、これをそのままの形で解析することは不可能である。従って、何等かの形で基礎方程式を簡略化することが必要である。現在までに開発されてきた数値モデルについての総論¹⁾が、Hinwood and Wallis の論文に要領よくまとめられている。ここでは、二次元化した基礎方程式の数値積分について、流速分布係数の影響と非線型移流項の影響を調べた。

基礎方程式とその差分化：ここで用いる潮汐流の基礎方程式は、三次元のN-S方程式を水深方向に積分して二次元化した式である。

$$\frac{\partial U}{\partial t} + \alpha(U \frac{\partial U}{\partial x} + V \frac{\partial U}{\partial y}) - fV + g \frac{\partial S}{\partial x} + g \frac{U(U^2 + V^2)^{1/2}}{C^2 H} + (1-\alpha) \frac{U}{H} \frac{\partial S}{\partial t} = \frac{\Delta S}{PH} \quad (1)$$

$$\frac{\partial V}{\partial t} + \alpha(V \frac{\partial V}{\partial x} + U \frac{\partial V}{\partial y}) + fU + g \frac{\partial S}{\partial y} + g \frac{V(U^2 + V^2)^{1/2}}{C^2 H} + (1-\alpha) \frac{V}{H} \frac{\partial S}{\partial t} = \frac{\Delta S}{PH} \quad (2)$$

$$\frac{\partial S}{\partial t} + \frac{\partial(UH)}{\partial x} + \frac{\partial(VH)}{\partial y} = 0 \quad (3)$$

ここに、

$$U = \frac{1}{H} \int_h^S u dz, \quad V = \frac{1}{H} \int_h^S v dz, \quad u = U(1 + \varepsilon_u(z)), \quad v = V(1 + \varepsilon_v(z)), \quad C = Chezy's \text{ const.}$$

$$\alpha H = \int_h^S (1 + \varepsilon_u^2(z)) dz = \int_h^S (1 + \varepsilon_u(z) \varepsilon_v(z)) dz = \int_h^S (1 + \varepsilon_v^2(z)) dz, \quad H = h + S, \quad \tau = \text{wind stress}$$

これらの式を差分化するには、fig-1 に示す格子点を用いて次のようにする(A.D.I. 法)²⁾

$$\delta_t U - f \bar{V} + \alpha U \delta_x U^* + \alpha \bar{V} \delta_x U^* + g \delta_x S^* + g \frac{\bar{U}^* (U^* + V^*)^{1/2}}{(C^2)^2} + (1-\alpha) \frac{U}{(C^2)^2} \delta_x S^* = \frac{\Delta S}{P(C^2 + S^*)} \text{ at } j \frac{1}{2}, k, n \quad (4)$$

$$\delta_x U + \delta_x [(\bar{U} + S^*) U] + \delta_x [(\bar{V} + S^*) V] = 0 \text{ at } j, k, n \quad (5)$$

$$\delta_x V + f \bar{U} + \alpha \bar{U} \delta_x V^* + \alpha U \delta_x V^* + g \delta_x S^* + g \frac{\bar{V}^* (U^* + V^*)^{1/2}}{(C^2)^2} + (1-\alpha) \frac{V}{(C^2)^2} \delta_x S^* = \frac{\Delta S}{P(C^2 + S^*)} \text{ at } j, k \frac{1}{2}, n \frac{1}{2} \quad (6)$$

ここに、
 $f_{j,k,n} = f(j\Delta x, k\Delta y, n\Delta t), \quad \bar{f}_{j,k,n} = \frac{1}{2}(f_{j+\frac{1}{2},k,n} + f_{j-\frac{1}{2},k,n}) \text{ etc.,}$

$$\delta_x f_{j,k,n} = \frac{1}{\Delta x}(f_{j+\frac{1}{2},k,n} - f_{j-\frac{1}{2},k,n}) \text{ etc.,} \quad \delta_x f_{j,k,n} = \frac{2}{\Delta t}(f_{j,k,n+\frac{1}{2}} - f_{j,k,n}) \text{ etc.,}$$

$$\bar{f}_{j,k,n} = \frac{1}{4}(f_{j+\frac{1}{2},k+\frac{1}{2},n} + f_{j+\frac{1}{2},k-\frac{1}{2},n} + f_{j-\frac{1}{2},k+\frac{1}{2},n} + f_{j-\frac{1}{2},k-\frac{1}{2},n}) \text{ etc.,} \quad f_{j,k,n+\frac{1}{2}} = f_{j,k,n+\frac{1}{2}} \text{ etc..}$$

各時間ステップで、(4)と(5)、(6)と(7)を連立して解く。これらの各式に3個の未知数が含まれることになり、漸化式の形にして解くことが可能である。

α の値：基礎方程式(1)、(2)で、 α の値は鉛直方向流速分布の不均一性によるものであり、1に近い値であり普通は $\alpha=1$ として計算されるが、 α の影響が明らかにされたことがない。実際の海で α がどれ位かは、実測例がないので、水理模型実験により α の値を推定してみた。tab.-1 は、瀬戸内海水理模型で得られた瀬戸難における実測例で、周期4m42sの成分について記したものである。 α の値は、難部で1.01~1.05、瀬戸岬部で1.05~1.1であった。そこで、 $\alpha=1.1$ として計算し、その結果を検討する。

計算結果：計算は、fig-2 に示した瀬戸難で行った。図中1で示した点は、水位計算点であり、2で示した点に境界条件としての水位(半日周潮)を与えた。格子間隔は2km、時間間隔180secである。計算ケースは、図中に示したほかに、 $\alpha=1.1$ (n=0.05)の合計5ケースである。 $\alpha=1.1$ とした場合の1周期間の潮位、流速の2乗平均値に対する、 $\alpha=1.0$ ($U_j \frac{\partial U_j}{\partial x} \neq 0$)、 $U_j \frac{\partial U_j}{\partial x} = 0$ とした場合の変化率を%で示したもののがtab.-2である。この表からわかるように、 $\alpha=1.0$ としてもほぼ満足のいく結果が得られるが、非線型移流項を省略することが出来ない。また、fig-2

tab.-1 実測例

Z/h_0	$ U _{max}$	θ	$Z =$ 底からの距離 $h_0 =$ 平均水深 $ U _{max} = U$ の振幅値 $\theta =$ 満潮位からの位相
.09	1.8	80	
.12	1.7	78	
.15	2.0	75	
.19	1.9	72	
.24	1.8	73	
.30	2.0	74	
.36	2.2	76	
.43	2.3	80	
.50	2.6	82	
.60	3.1	79	
.69	3.4	76	
.80	3.9	79	
.90	4.1	78	
			(cm/s) (deg.)

から、CをManningの式で表した場合、複雑な地形を有する所では、普通使われている $n=0.025$ よりも大きさを使う必要がある。

まとめ：潮汐流の数値解析で、流速分布係数 α を考慮した場合としない場合の比較をした。両者の差と振幅の2乗平均値で示すと、潮位について1%位、流速について5%位である。従って $\alpha=1.0$ と計算しても満足の出来る結果を得られる。しかし、水質環境の予測を行う場合、非線形移流項を経済性などの点から省略することもあるが、この項は無視してはならない。

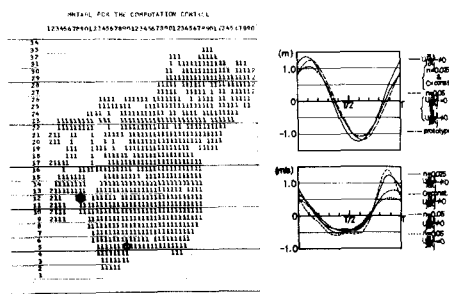


fig-2 水位計算結果

- 1) J. B. Hinwood and I. G. Wallis, J. Hyd. Div., Vol. 101, Nov. 1975
- 2) J. J. Leendertse, Memorandum RM-6230-RC, Rand Corp., 1970

tab-1 $\alpha=1.1$ の場合との2乗平均値
との百分率

	$\bar{S}(\%)$	$\bar{U}(\%)$	$\bar{V}(\%)$
$\alpha=1.0$	0.5	4.6	1.7
$\alpha=1.1$	3.7	27.8	27.3